

# **OPTYMALIZACJA KONSTRUKCJI NAWIERZCHNI DZIĘKI STABILIZACJI PODBUDOWY GEORUSZTEM TRÓJOSIOWYM**

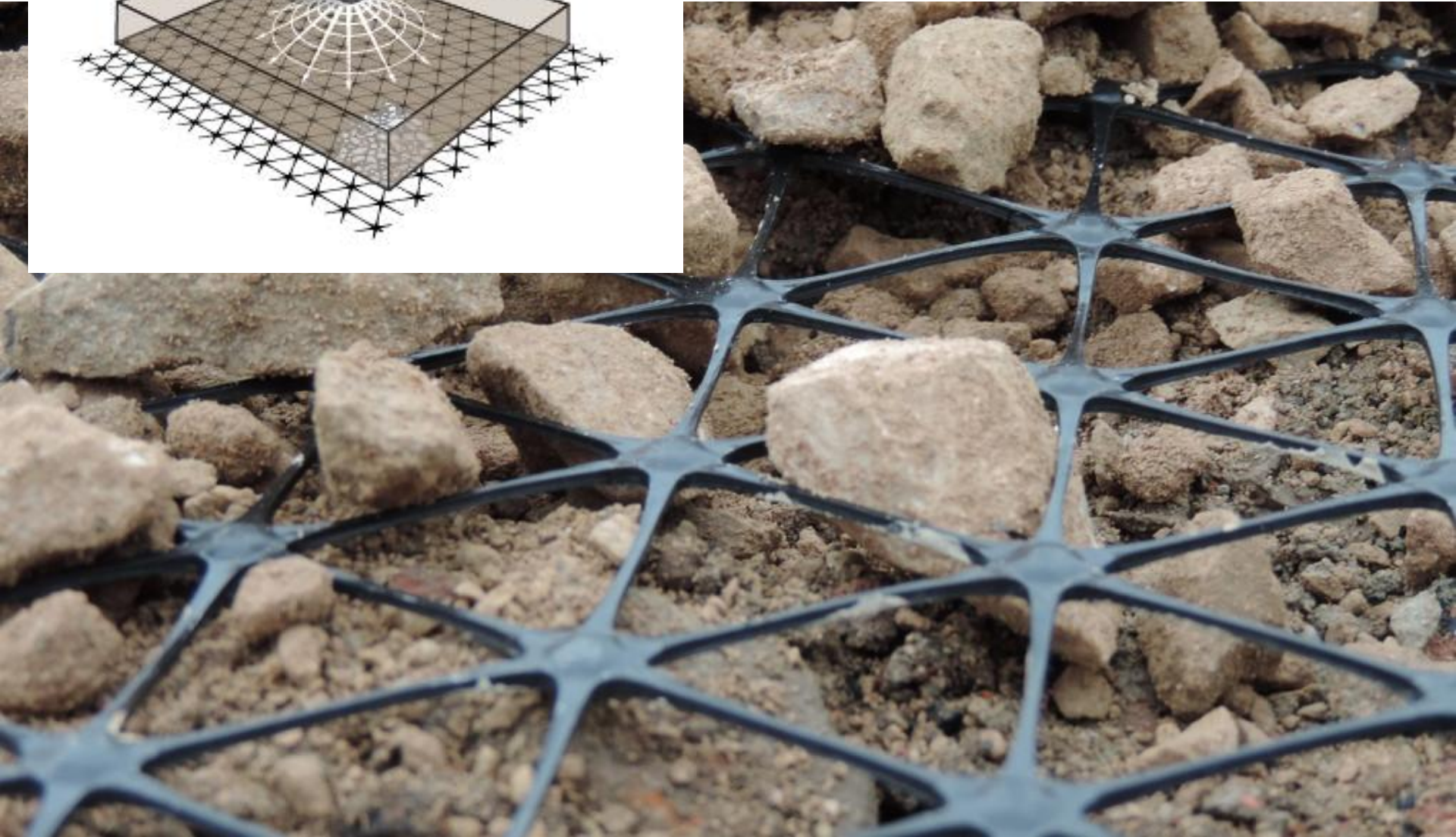
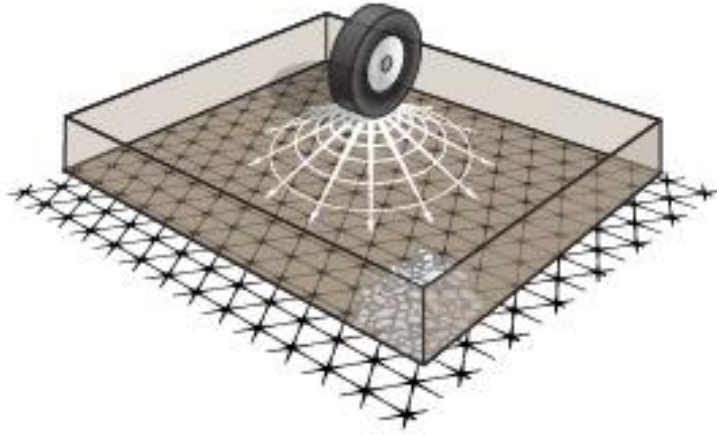
---

**Piotr Mazurowski**

Menadżer ds. Technologii Optymalizacji Nawierzchni



# Georuszt trójosiowy Tensar TriAx do stabilizacji warstw kruszywa



Georuszty trójosiowe w konstrukcji nawierzchni

**Georuszty trójosiowe Tensor TriAx** są z powodzeniem stosowane w budownictwie drogowym od ponad 10 lat.

Dotychczas stosowane były przede wszystkim w warstwach ulepszonego podłoża konstrukcji wykonywanych na gruncie o niskiej nośności

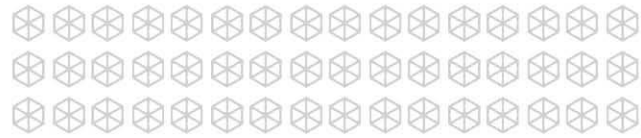








# Brief History of Tensar



Amount of TriAx installed to date\*

**160,000,000m<sup>2</sup>**



That's equivalent to:

**TriAx<sup>®</sup>**

2017

10 years of  
TriAx geogrid



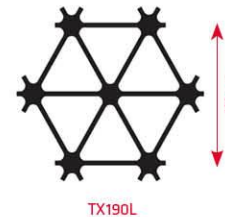
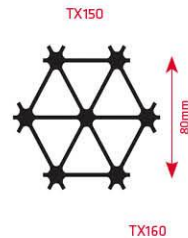
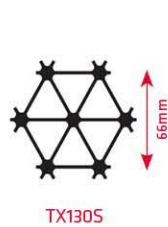
**50**

return journeys to  
the moon



**940**

trips round the  
meridian equator



\* EH Only. Based on a 4.0m wide roll

**Nowe podejście:**

**Optymalizacja konstrukcji nawierzchni**

# Optymalizacja konstrukcji nawierzchni

## Optymalizacja konstrukcji nawierzchni

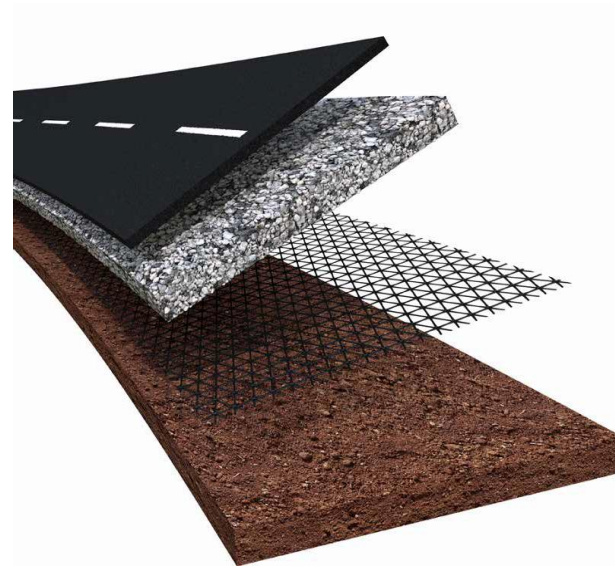
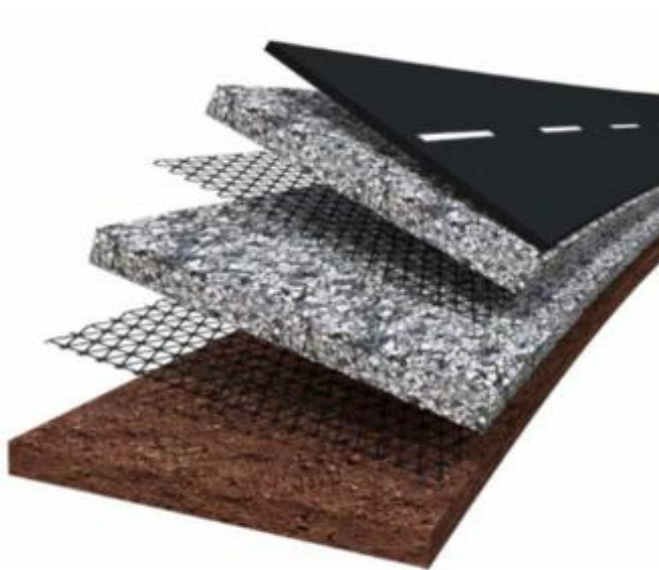
to wykorzystanie warstw **kruszywa stabilizowanego georusztem hexagonalnym** w celu zredukowania grubości konstrukcji (w tym warstw asfaltowych) przy zachowaniu wymaganej trwałości.

Alternatywnie: zwiększenie trwałości konstrukcji przy zachowaniu jej grubości lub kombinacja obu efektów.



## Optymalizacja konstrukcji nawierzchni

Optymalizacja nawierzchni jest możliwa zarówno dla konstrukcji wykonywanych na **słabym podłożu**, jak i dla konstrukcji wykonywanych na **nośnym podłożu**

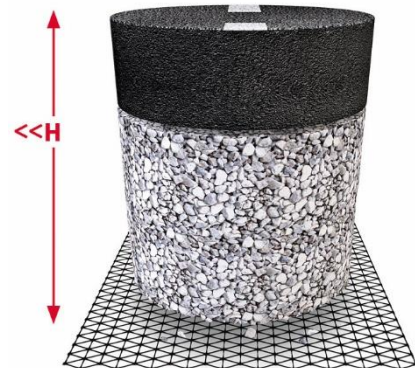


# Wydłużenie okresu eksploatacji nawierzchni i/lub zredukowanie jej kosztu

OPCJA PIERWSZA

OPCJA DRUGA

OPCJA TRZECIA



1,000,000 OSI

1,000,000 OSI

DO 3,000,000 OSI

DO 6,000,000 OSI

Projekt wyjściowy

Taka sama trwałość  
NAJNIŻSZE KOSZTY

Do 3 x trwałość  
wyjściowa  
TEN SAM KOSZT

Do 6 x trwałość wyjściowa  
NAJNIŻSZE KOSZTY  
BUDOWY I EKSPLOATACJI



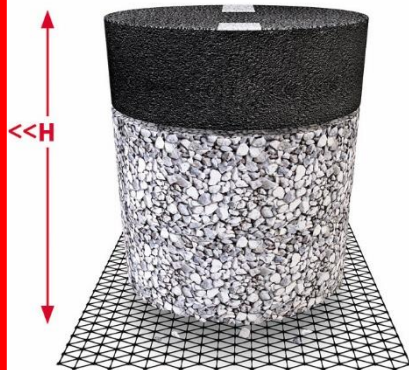
# Wydłużenie okresu eksploatacji nawierzchni i/lub zredukowanie jej kosztu



1,000,000 OSI

Projekt wyjściowy

OPCJA PIERWSZA



1,000,000 OSI

Taka sama trwałość  
NAJNIŻSZE KOSZTY

OPCJA DRUGA



DO 3,000,000 OSI

Do 3 x trwałość  
wyjściowa  
TEN SAM KOSZT

OPCJA TRZECIA



DO 6,000,000 OSI

Do 6 x trwałość wyjściowa  
NAJNIŻSZE KOSZTY  
BUDOWY I EKSPLOATACJI

# Wydłużenie okresu eksploatacji nawierzchni i/lub zredukowanie jej kosztu





# Wydłużenie okresu eksploatacji nawierzchni i/lub zredukowanie jej kosztu



**Amerykańska norma  
AASHTO R 50-09  
„Wzmocnienie  
geosyntetykami  
podbudowy z kruszywa w  
nawierzchniach podatnych**

---

Standard Practice for

**Geosynthetic Reinforcement of the  
Aggregate Base Course of Flexible  
Pavement Structures**



AASHTO Designation: R 50-09<sup>1</sup>

---

**1. SCOPE**

- 1.1. This standard practice provides guidance to pavement designers interested in incorporating geosynthetics for the purpose of reinforcing the aggregate base course of flexible pavement structures. Geosynthetic reinforcement is intended to provide structural support of traffic loads over the life of the pavement.
- 1.1.1. For the purpose of this guide, base reinforcement is the use of a geosynthetic within, or directly beneath, the granular base course.
- 1.1.2. When referring to geosynthetics, the discussion is limited to geotextiles, geogrids, or geogrid/geotextile composites.

---

**2. REFERENCED DOCUMENTS**

- 2.1. *AASHTO Standard:*
- M 288, Geotextile Specification for Highway Applications
- 2.2. *Other References:*
- Geosynthetics Materials Association (GMA) White Paper I—“Geosynthetics in Pavement Systems Applications,” May 1999. Available at [bookstore@ifai.com](mailto:bookstore@ifai.com).
  - Geosynthetic Materials Association (GMA) White Paper II—“Geosynthetic Reinforcement of the Aggregate Base Course of Flexible Pavement Structures,” June 2000. Available at [bookstore@ifai.com](mailto:bookstore@ifai.com).
  - National Highway Institute (NHI) Participant Notebook—*Geosynthetic Design and Construction Guidelines*, April 1999. Available at [www.nhi.fhwa.dot.gov](http://www.nhi.fhwa.dot.gov).

---

**3. INTRODUCTION**

- 3.1. Because the benefits of geosynthetic reinforced pavement structures may not be derived theoretically, test sections are necessary to obtain benefit quantification. Studies have been done that demonstrate the value added by a geosynthetic in a pavement structure. These studies, necessarily limited in scope, remain the basis for design in this field.
- 3.2. This standard practice is very empirical in nature and restricted to applications already demonstrated to be useful. The practitioner will need to consult the references and locate a tested



- 6.1. Geosynthetics are used in the pavement structure for structural support of traffic loads over the design life of the pavement. The geosynthetic is expected to provide one or both of these benefits: (1) improved or extended service life of the pavement, or (2) reduced thickness of the structural section.

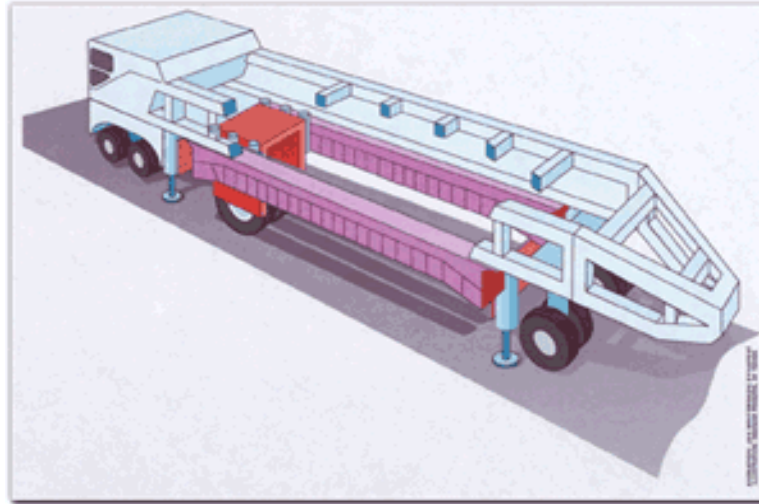
Geosyntetyk powinien zapewnić uzyskanie jednej lub obu następujących korzyści: (1) zwiększenie okresu eksploatacji nawierzchni, lub (2) zredukowanie grubości konstrukcji.

- 3.1. Because the benefits of geosynthetic reinforced pavement structures may not be derived theoretically, test sections are necessary to obtain benefit quantification. Studies have been done that demonstrate the value added by a geosynthetic in a pavement structure. These studies, necessarily limited in scope, remain the basis for design in this field.

Ponieważ nie można określić teoretycznie korzyści z zastosowania geosyntetyku w konstrukcji nawierzchni, niezbędne jest wykonanie odcinków testowych w celu określenia wpływu geosyntetyku.

# Program badawczy USACOE - badania HVS w pełnej skali

USACOE – United States Army Corps Of Engineers



## CEL

- Uzyskanie danych z testu w pełnej skali dla georusztów TriAx do wykorzystania w projektowaniu nawierzchni zgodnie z AASHTO '93 i/lub metodami mechanistyczno-empirycznymi.
- Analiza uzyskanych wyników w połączeniu z wszystkim wcześniejszymi badaniami georusztów Tensar.
- Wykorzystanie bazy danych do potwierdzenia prawidłowości metody projektowej.

# Przyspieszony test w pełnej skali w USACOE (US Army Corps of Engineers)



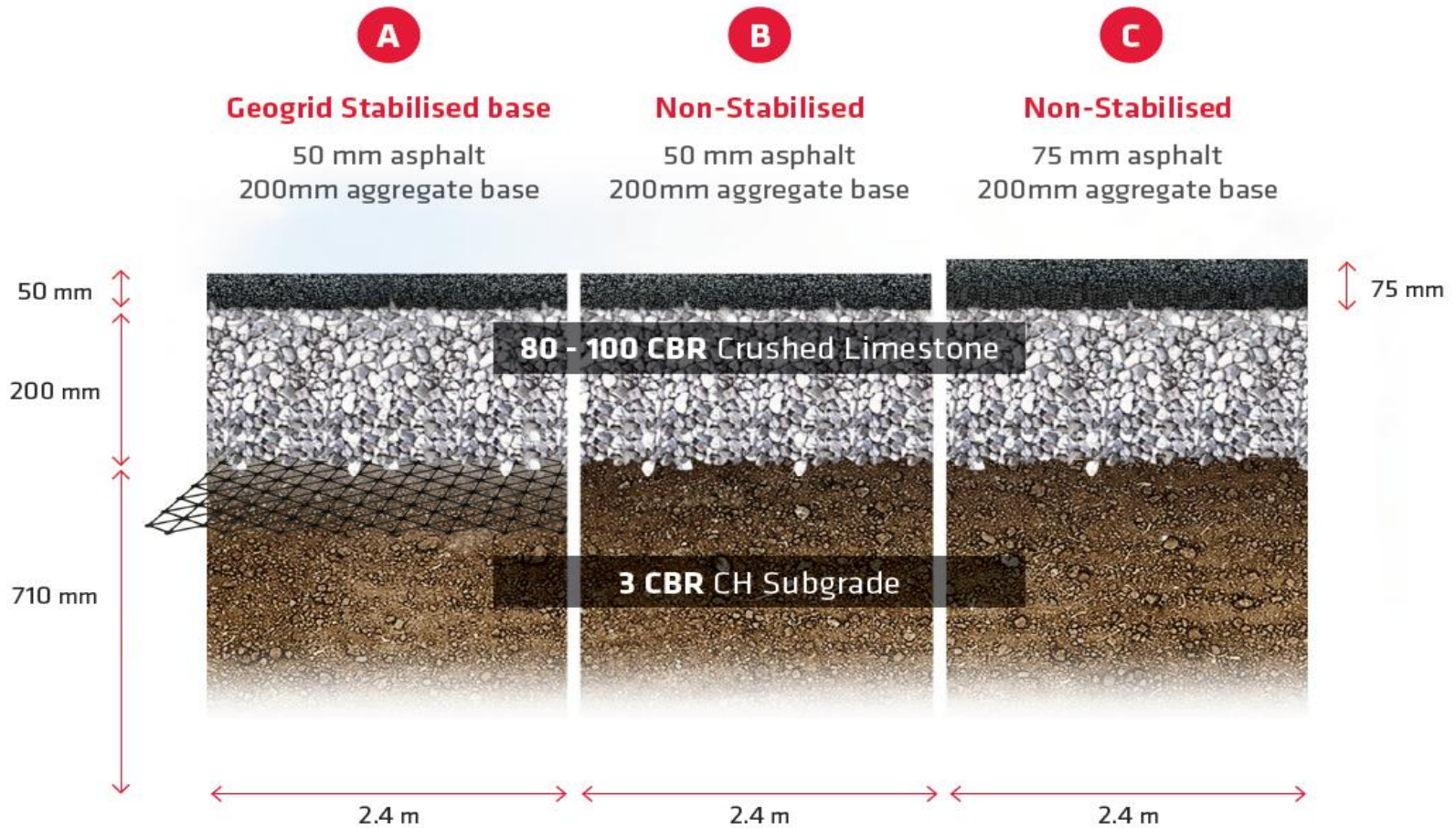


# Przyspieszony test w pełnej skali w USACOE (US Army Corps of Engineers)



Accelerated Pavement Testing

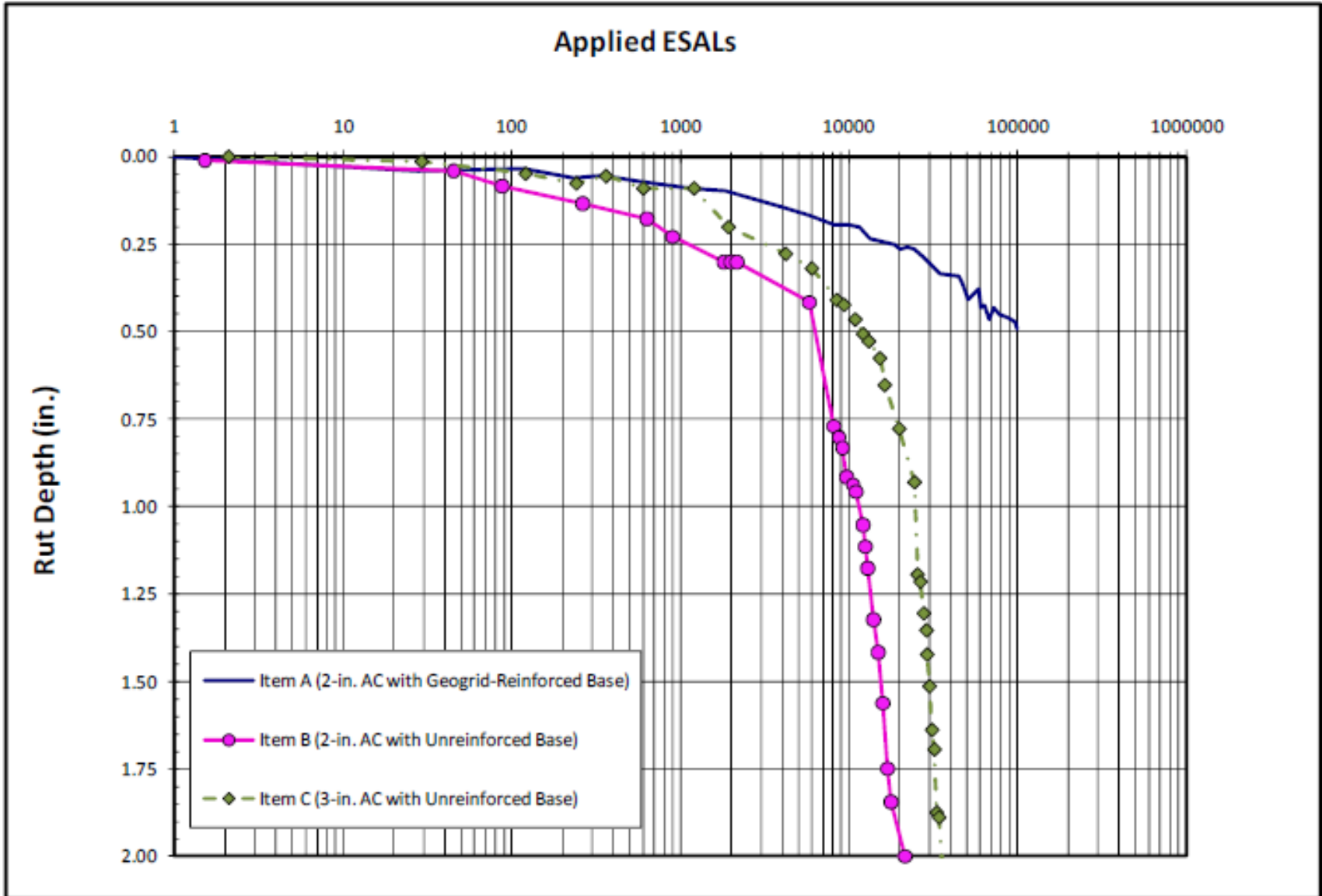
# Test US Army Corps of Engineers – faza 1 (2010)



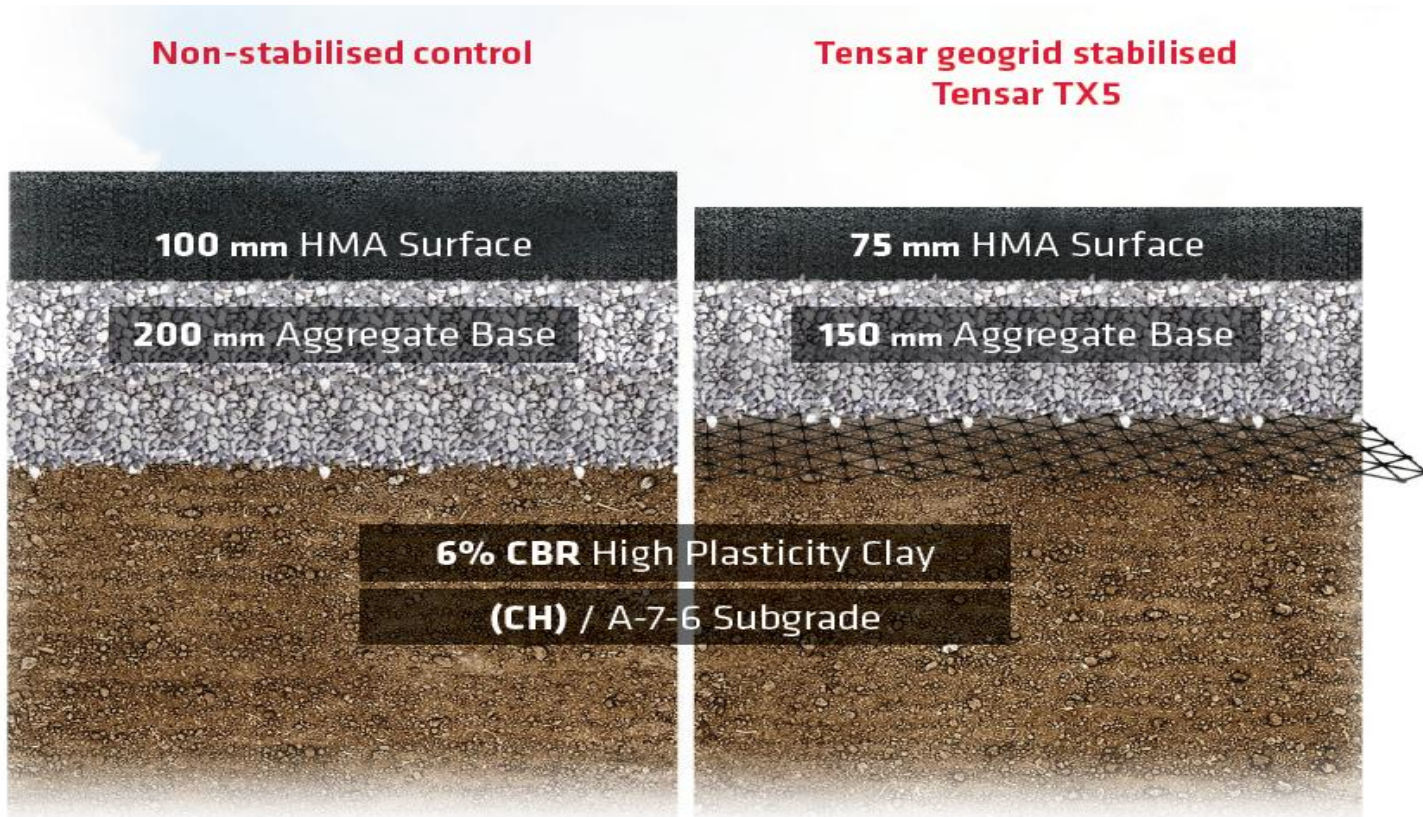
**100 000** przejeżdż osi standardowej



# Test US Army Corps of Engineers – faza 1 (2010)







**200 000** przejść osi standardowej

Test Item	Pavement Structure	Permanent Surface Deformation (in.)				
		832 ESAL	5,200 ESAL	52,000 ESAL	104,000 ESAL	200,000 ESAL
Item 1	Control	0.00	0.05	0.09	0.17	0.25
Item 2	Stabilized	0.00	0.00	0.13	0.21	0.28

Table 1. Permanent surface deformation measurements.

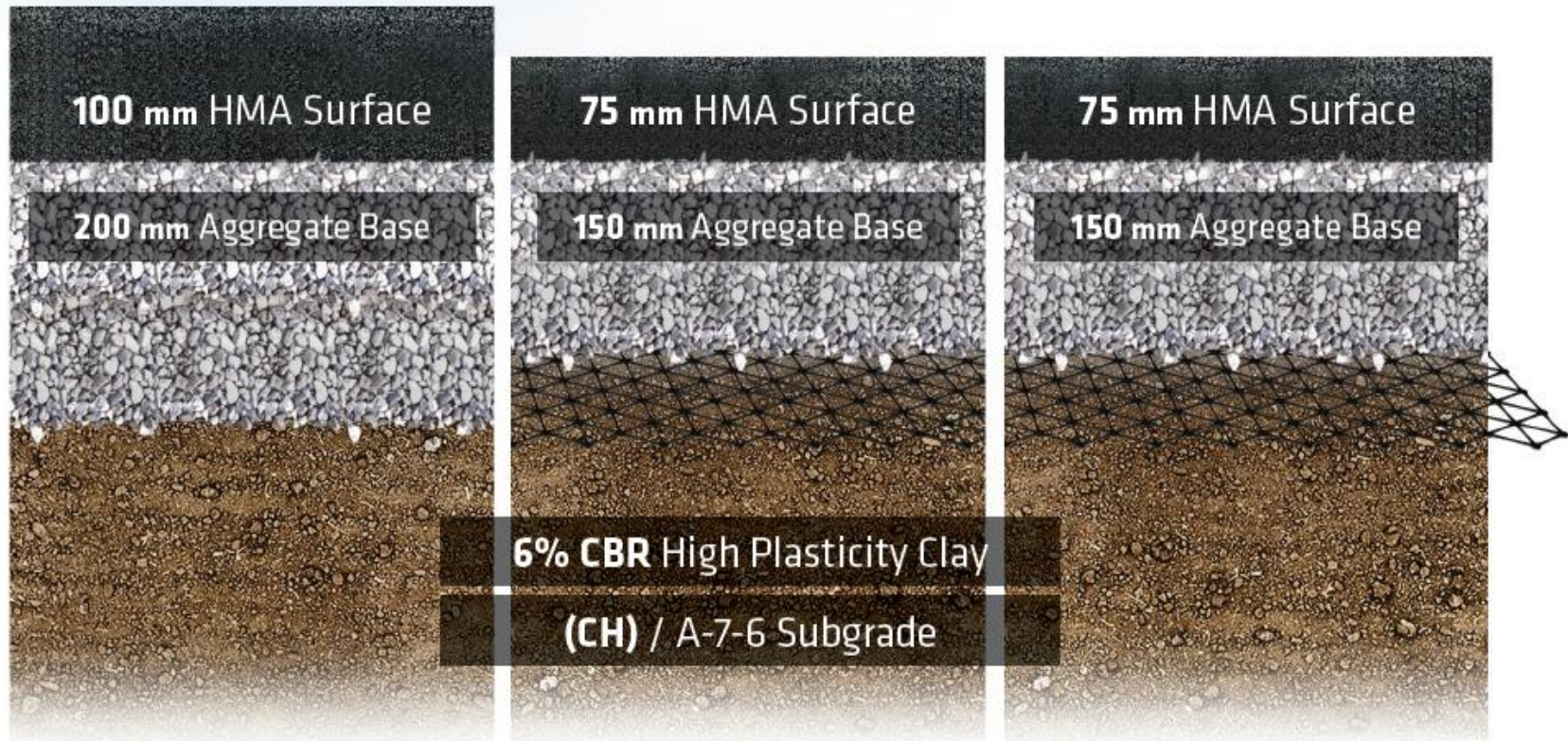
**200 000** przejść osi standardowej



Non-stabilised section

TX5 Section

TX8 Section



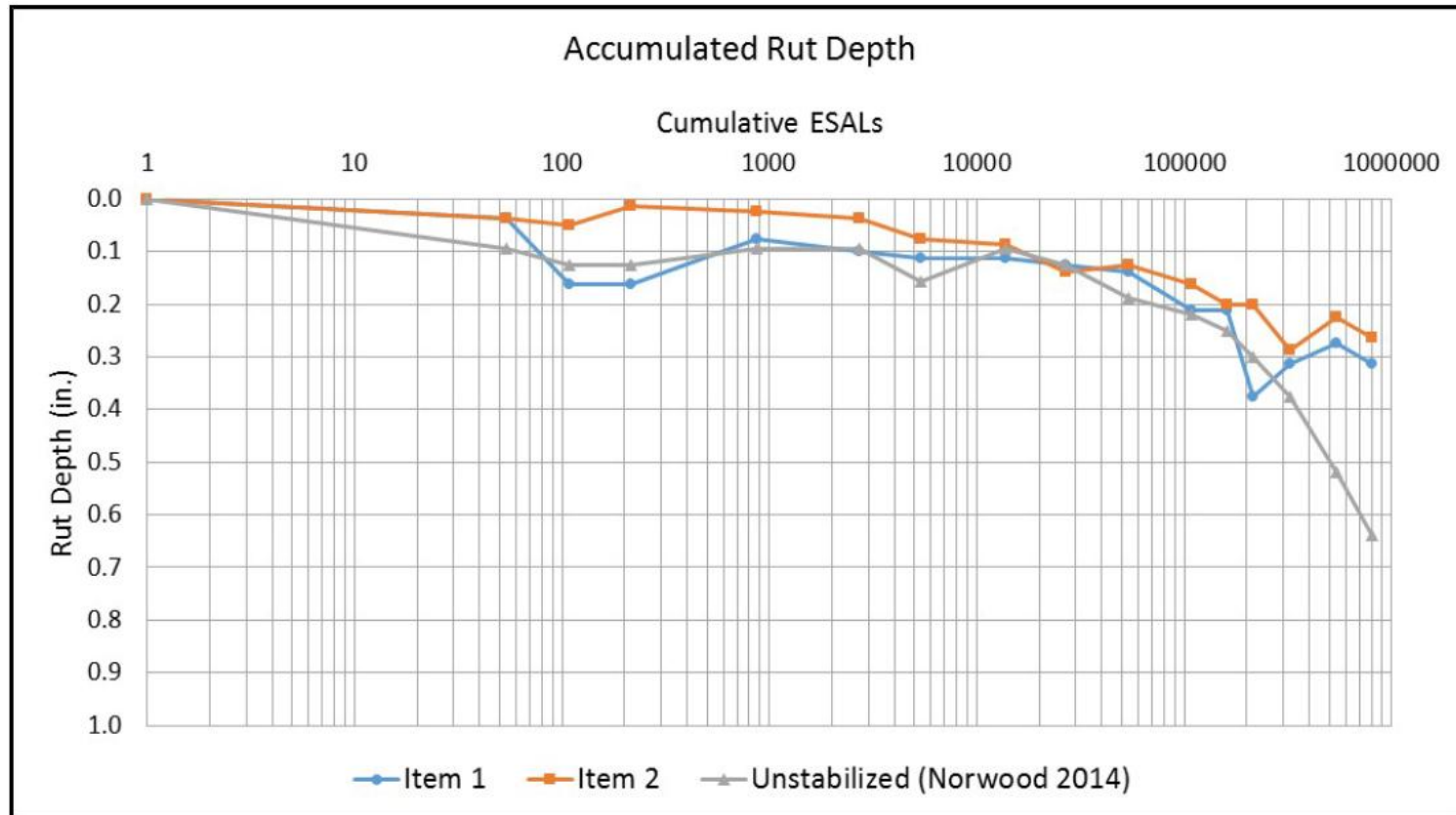
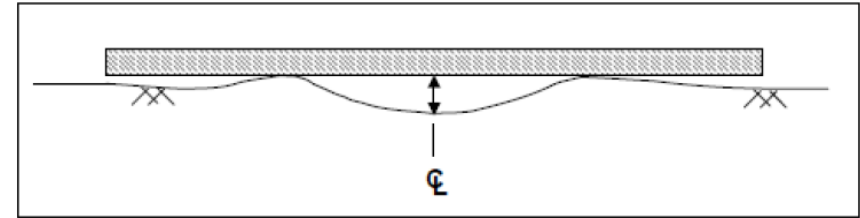
**800 000** przejść osi standardowej



# Obciążenie ruchem – do 800 000 przejeżdż osi

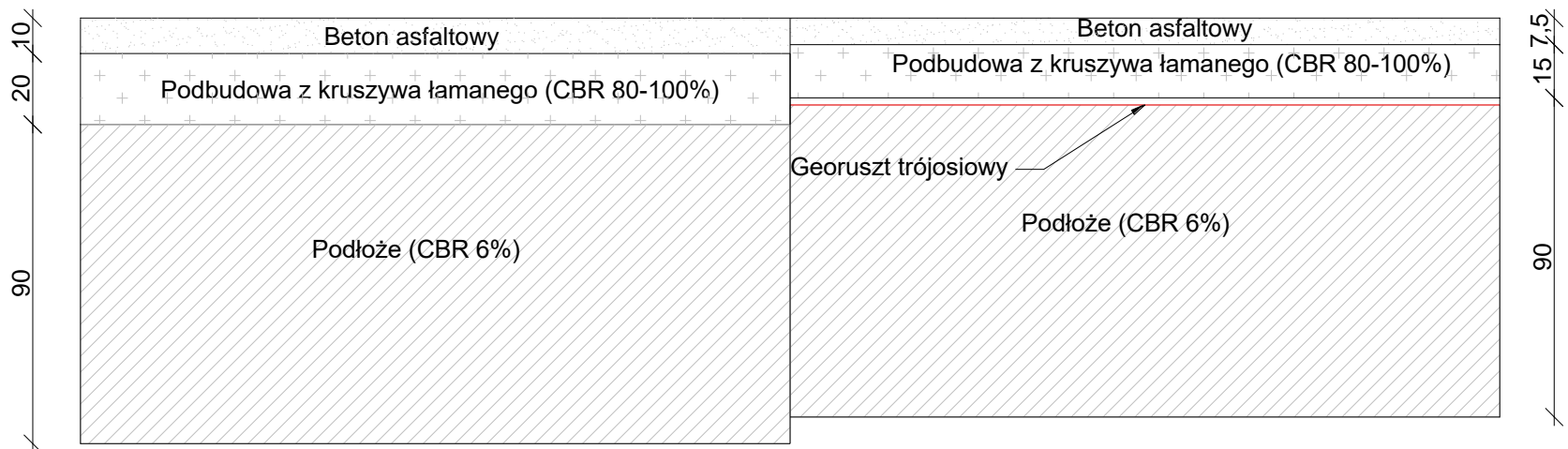
## Pomiar głębokości koleiny

Figure 18. Measurement of maximum rut depth.

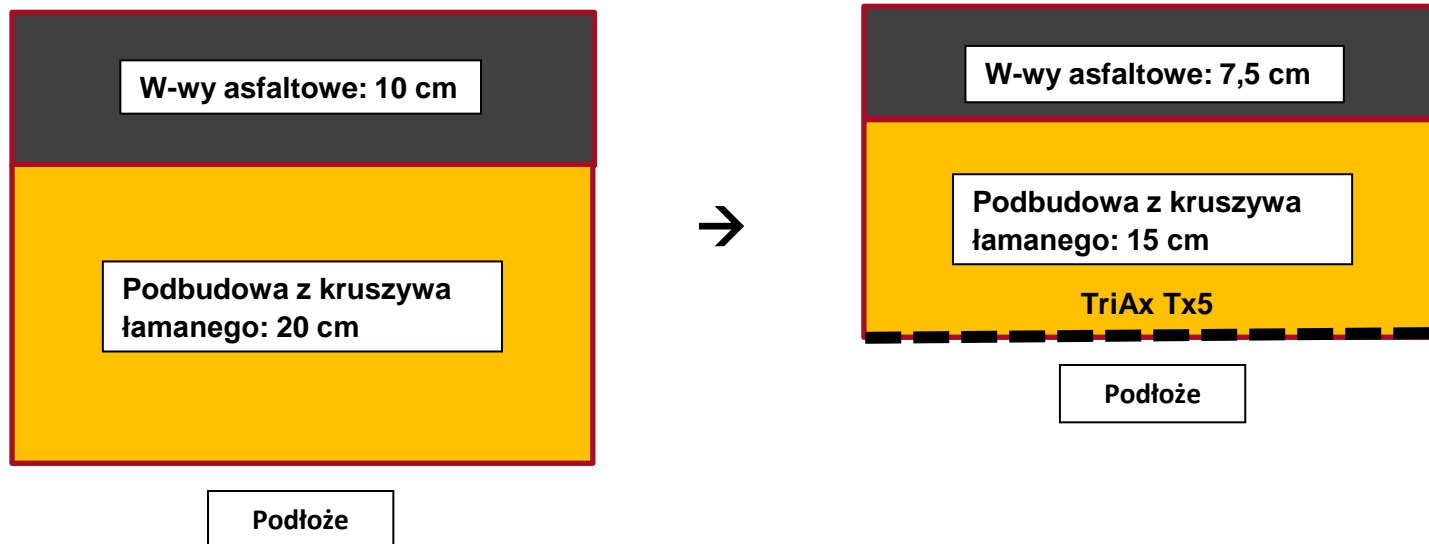


Konstrukcje z podbudową stabilizowaną georusztem trójosiowym Tensar TriAx zachowały się co najmniej tak samo dobrze, jak konstrukcja kontrolna bez georusztu, pomimo zmniejszenia grubości:

- warstw asfaltowych o 2,5 cm
- podbudowy z kruszywa o 5 cm



# Wnioski praktyczne:



**2,5 cm warstw asfaltowych: - ok. 15 zł/m<sup>2</sup>**

**5 cm podbudowy z kruszywa łamanego: - ok. 8 zł/m<sup>2</sup>**

**Tensar TriAx Tx5: + ok 10 zł/m<sup>2</sup> (z kosztem zakładów i ułożenia)**

**OSZCZĘDNOŚCI: OK 13 ZŁ/M<sup>2</sup> NAWIERZCHNI**



## **Uwzględnienie wpływu stabilizacji podbudowy georusztem Tensor TriAx w projektowaniu nawierzchni:**

Wykorzystujemy „Model wpływu georusztu” opracowany w firmie Tensor na podstawie analizy wyników badań odcinków próbnych w USACoE i wielu innych wcześniejszych testów

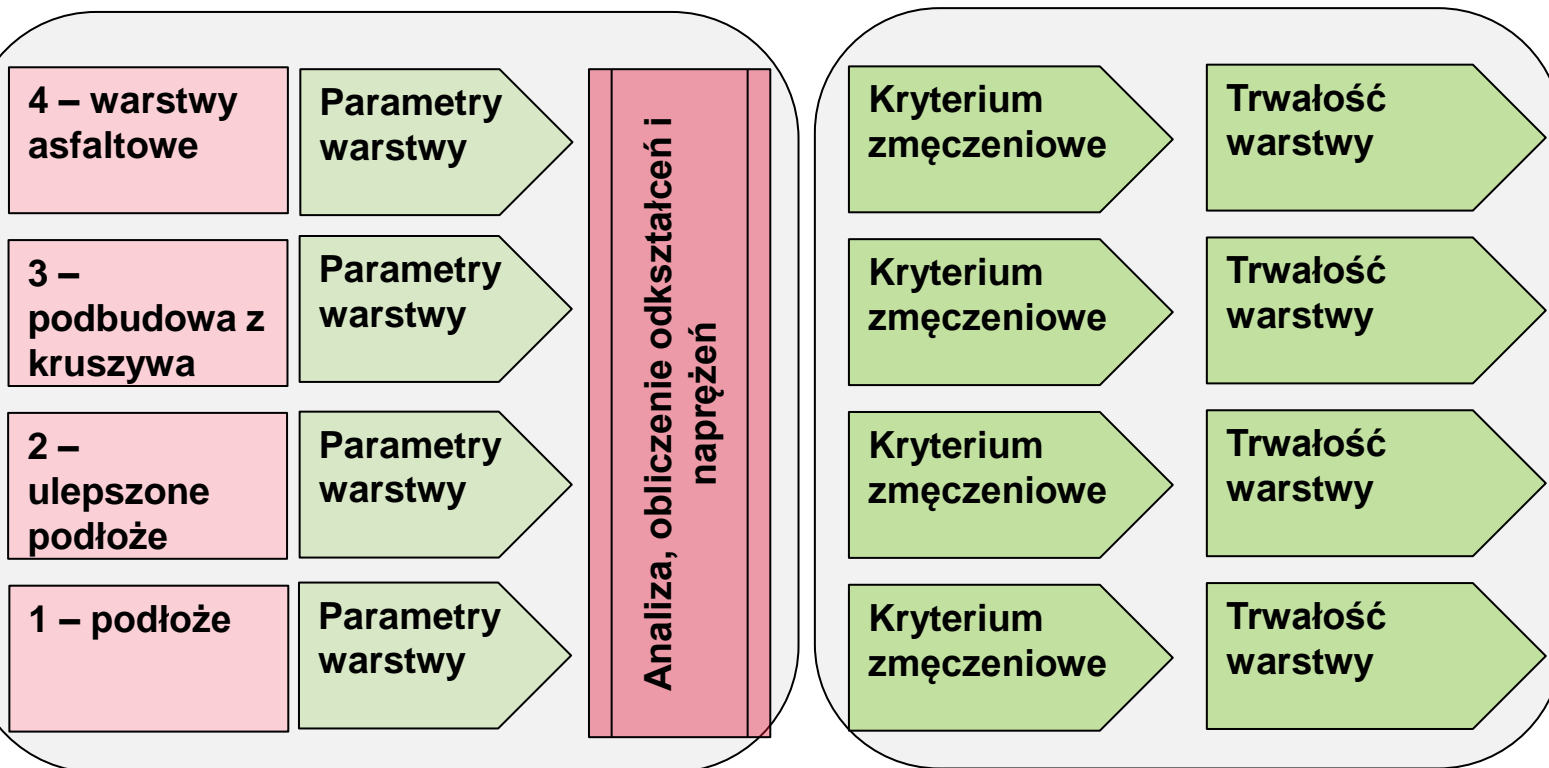
„Model wpływu georusztu” wykorzystuje dwa elementy:

- Zwiększenie modułu sprężystości warstwy kruszywa niezwiązanego
- Zwiększenie obliczonej trwałości nawierzchni – „Shift Factors”

# Modyfikacja metody mechanistyczno-empirycznej

## Część mechanistyczna

## Część empiryczna

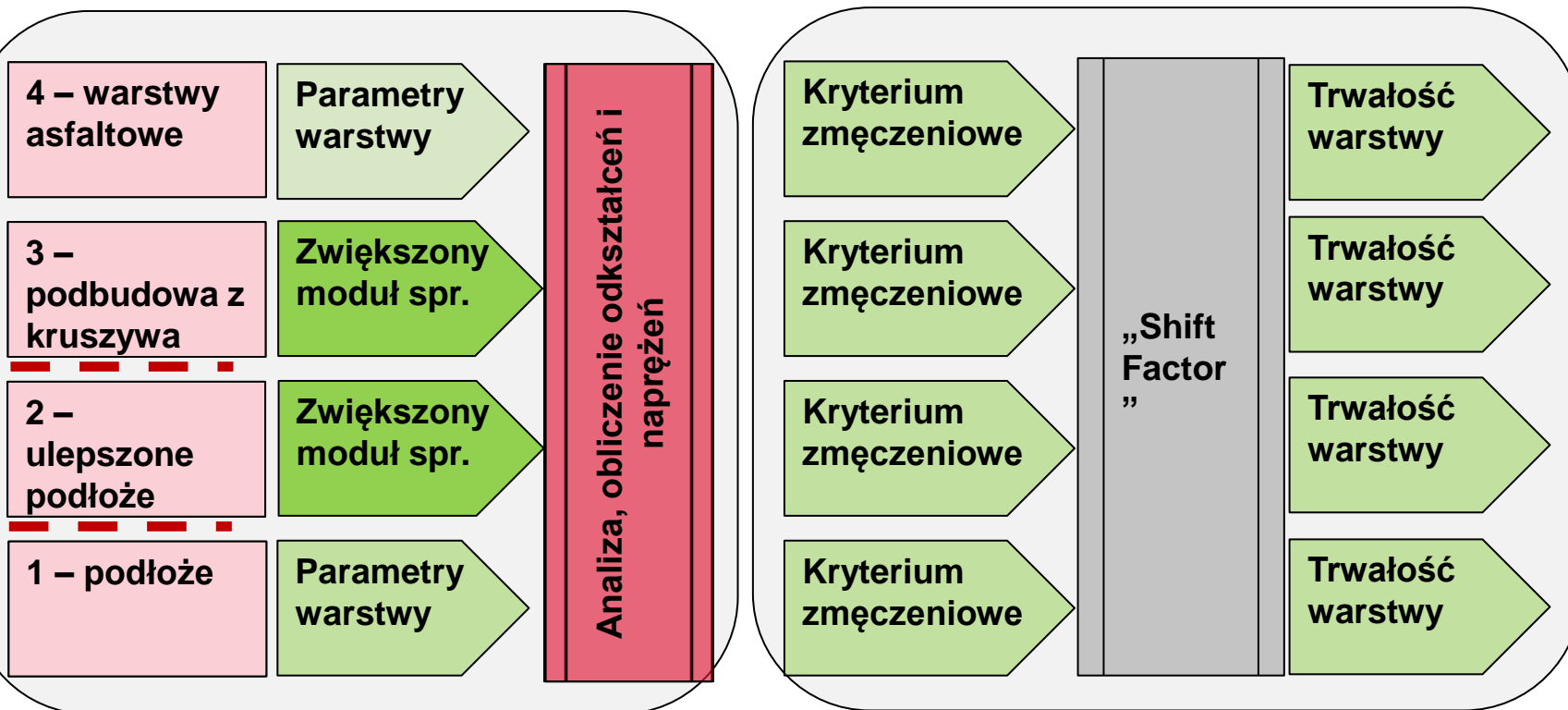


Tradycyjna metoda M-E

# Modyfikacja metody mechanistyczno-empirycznej

## Część mechanistyczna

## Część empiryczna



Zmodyfikowana metoda M-E



## Modyfikacja metody mechanistyczno-empirycznej

„Model wpływu georusztu” zawiera opracowane przez Tensor formuły służące do obliczenia zarówno wielkości wzrostu modułu sprężystości warstwy kruszywa stabilizowanej georusztami TriAx, jak i współczynników zwiększających obliczoną trwałość nawierzchni („Shift Factors”). Formuły te uwzględniają:

- Grubość warstwy stabilizowanego kruszywa
- Grubość warstw asfaltowych
- Nośność podłoża
- Odległość pomiędzy georusztem a warstwami asfaltowymi oraz pomiędzy georusztem a podłożem
- Odmianę georusztu TriAx

# Oprogramowanie do projektowania konstrukcji nawierzchni

**TensorPave** – metoda empiryczna (modyfikacja metody AASHTO'93)

**Spectra M-E** – metoda mechanistyczno-empiryczna

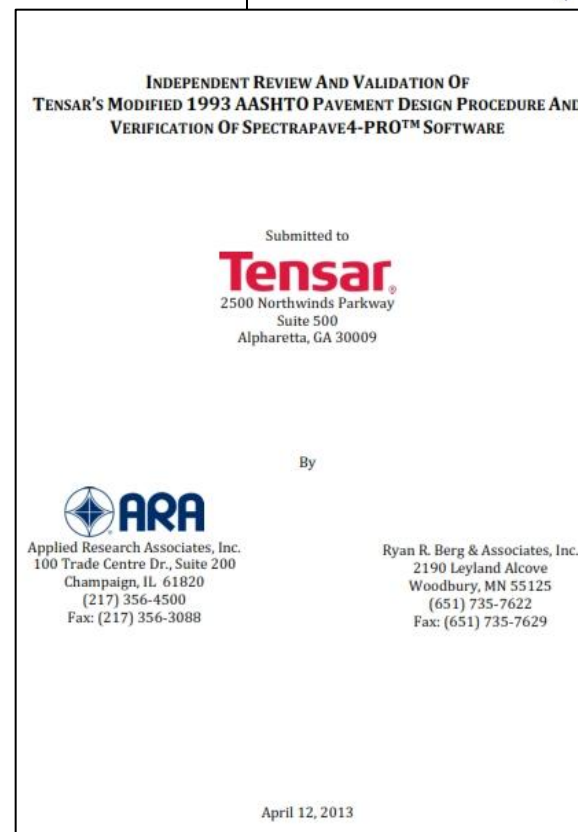
The screenshot displays the SpectraPave4 PRO software interface. The main window shows a 'Paved Application Design Analysis - Data Input' section with two tables: 'Non-stabilised Section' and 'Stabilised Section'. The 'Stabilised Section' table includes columns for Layer, Di, ai, mi, and SN, with rows for ACC1, MSL, and SBC. Below the tables are cross-section diagrams for 'Non-stabilised Section' and 'Stabilised Section' showing layer thicknesses (ACC1, ACC2, ABC, MBL, SBC) and a geosynthetic layer (TXS). A 'Preview Life' window is overlaid on top, showing a table of 'Calculated Life ESALS' for different materials and thicknesses. The table includes columns for Material Name, Thickness mm, Geosynthetics, and Calculated Life ESALS. The 'Asphaltdeckschicht' row is highlighted in red, showing a thickness of 75 mm and a calculated life of 1,416,700 ESALS. Other rows include 'TriAx TX150' with a thickness of 225mm and a calculated life of 14,555,595 ESALS, and 'Axle Dual Wheel' with a thickness of 150 mm and a calculated life of 1,416,700 ESALS. The 'Target Life ESALS' is set to 3,306,595. The software title bar indicates 'SpectraPave4 PRO™ - [Untitled.sp4e]' and the window title is 'Preview Life - Analysis 1 Section 1 - Stabilised - Instance 1 > JuergenKlopp Steinbr...'. The bottom status bar shows 'Paved Application Design Analysis', 'Units SI', 'Standard Asphalt Pavement', 'TEH Edition', and '20130730'.

Material Name	Thickness mm	Geosynthetics	Calculated Life ESALS
Asphaltdeckschicht	75		1,416,700
TriAx TX150	225mm		14,555,595
			15,427,739
Axle Dual Wheel	150		1,416,700

# Weryfikacja metod projektowych wykonana przez ARA

- Weryfikacja metod projektowych: empirycznej – program TensorPave, oraz mechanistyczno-empirycznej – program Spectra M-E, wykonana przez niezależną instytucję

**ARA** (Applied Research Associates, Inc.) – firma inżynieryjno-konsultingowa działająca na zlecenie inwestorów publicznych i prywatnych, z siedzibą w Albuquerque w stanie Nowy Meksyk oraz licznymi biurami na terenie USA i Kanady. Zatrudnia ponad 1000 specjalistów z różnych branż i zajmuje się przede wszystkim projektami z zakresu bezpieczeństwa i obronności, infrastruktury, energii i środowiska oraz geotechniki.





# Podsumowanie korzyści wynikających z optymalizacji nawierzchni

Optymalizacja nawierzchni z wykorzystaniem georusztów TriAx pozwala na:

- Redukcję grubości konstrukcji nawierzchni
- Skrócenie czasu realizacji
- Zmniejszenie ruchu budowlanego
- Zmniejszenie uszkodzeń dróg dojazdowych
- Wydłużenie okresu eksploatacji nawierzchni
- Zmniejszenie nakładów na utrzymanie
- Zmniejszenie ilości okresów wyłączeń nawierzchni z ruchu na czas prac utrzymaniowych
- Redukcję emisji zanieczyszczeń do atmosfery

**PRZYKŁADY ZASTOSOWANIA  
OPTYMALIZACJI KONSTRUKCJI  
NAWIERZCHNI W POLSCE**

## **Zwiększenie trwałości zmęczeniowej nawierzchni bez zwiększania jej grubości**

GPR2015 wykazał istotne zwiększenie ruchu w stosunku do założeń projektowych (projekt opracowany w r. 2010). Zamawiający zdecydował się na zastosowanie georusztów trójosiowych w celu uzyskania wymaganej trwałości bez konieczności pogrubiania konstrukcji.

Długość odcinka: 2,3 km



# Obwodnica Rzepina w ciągu DW134 i DW139 – dojazd do węzła A2 (2017)

## Zaprojektowana konstrukcja:

- Warstwa ścieralna z SMA11: 4 cm
- Warstwa wiążąca z AC16W: 9 cm
- Podbudowa zasadnicza z AC22P: 10 cm
- Podbudowa pomocnicza (dolna warstwa pod. zasadniczej) z MN C90/3 0/31,5 stabilizowanej georusztem **Tensar TriAx TX5**: 20 cm
- Warstwa technologiczna: grunt stabilizowany cementem  $R_m = 1,5$  MPa: 10 cm
- Podłoże G1

# Obwodnica Rzepina w ciągu DW134 i DW139 – dojazd do węzła A2 (2017)





# Obwodnica Rzepina w ciągu DW134 i DW139 – dojazd do węzła A2 (2017)

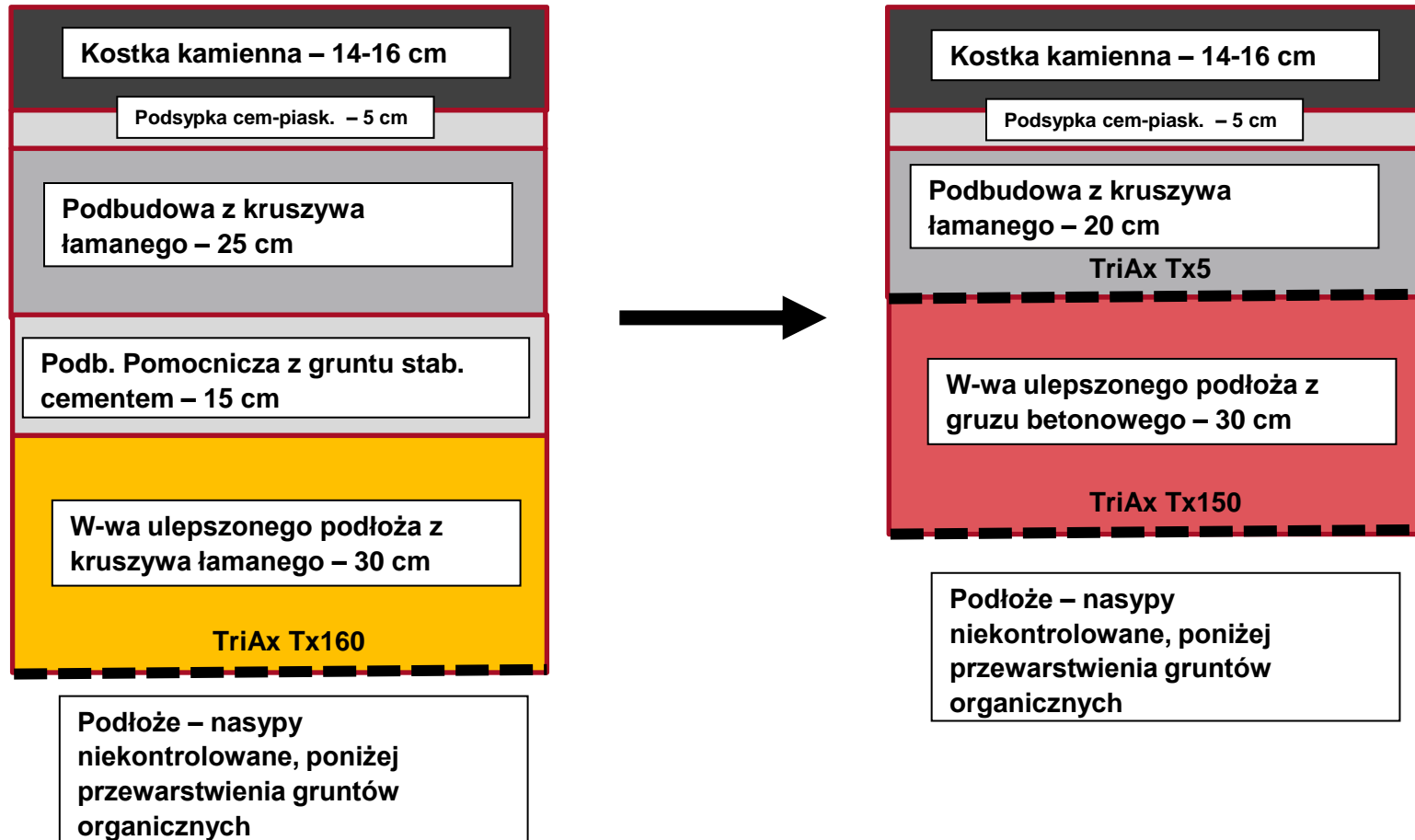




# Przebudowa ulicy Św. Ducha w Gdańsku (2017)

## Ulica na Starym Mieście w Gdańsku

Wykonawca poszukiwał możliwości odchudzenia konstrukcji i zastosowania tańszego kruszywa.



# Przebudowa ulicy Św. Ducha w Gdańsku (2017)





# Przebudowa ulicy Św. Ducha w Gdańsku (2017)





# Przebudowa ulicy Św. Ducha w Gdańsku (2017)





# Przebudowa ulicy Św. Ducha w Gdańsku (2017)



**Dziękuję za uwagę  
Pytania?**

---

